

## اثر پیش تیمار اسمز - اولتراسونیک و خشک کردن تکمیلی با مایکروویو بر خصوصیات کیفی گیلاس سیاه خشک شده

زهره کرمی<sup>\*</sup>، قاسم یوسفی و زهرا امام جمعه<sup>\*\*</sup>

\* نگارنده مسئول: گرگان، دانشگاه علوم کشاورزی و منابع طبیعی گرگان، ص. پ. ۳۸۶، تلفن: ۰۴۱۷۰۵۲۲۵۱۷۰، پیامنگار: z\_karami\_gua@yahoo.com

\*\* بهترتب: دانشآموخته کارشناسی ارشد، گروه علوم و مهندسی صنایع غذایی دانشگاه گرگان؛ دانشآموخته کارشناسی ارشد؛ و دانشیار گروه علوم و مهندسی صنایع غذایی دانشگاه تهران  
تاریخ دریافت: ۱۸/۶/۹۱؛ تاریخ پذیرش: ۱۴/۲/۹۲

### چکیده

در این پژوهش، اثر خشک کردن اسمزی با کاربرد اولتراسوند و دوره تکمیلی خشک کردن با مایکروویو روی خصوصیات کیفی (آنتوسبیانین‌های پلیمری شده، آنتوسبیانین‌های وارد شده به محیط اسمزی و بافت) گیلاس سیاه خشک شده بررسی شد. برای خشک کردن، از محلول اسمزی (آب، ساکارز) استفاده شد و به منظور رسیدن به یک فرآیند اسمز بهینه، غلظت قند در سه سطح ۴۰، ۵۰ و ۶۰ درصد و دما در سه سطح ۶۰، ۵۰ و ۴۰ درجه سلسیوس آزمایش شد. فرآیند اولتراسوند نیز در دو فرکانس ۶۵ و ۱۳۰ کیلوهرتز مورد بررسی قرار گرفت. نمونه‌های گیلاس سیاه به منظور افزایش نفوذپذیری پوست، به مدت دو دقیقه در سود ۰/۵ مولار، غوطه‌ور شدند. برای خشک کردن تکمیلی نیز از مایکروویو با توان ۱۰۰ و ۲۰۰ و ۳۰۰ وات استفاده شد. به منظور تعیین نقاط بهینه فرآیند خشک کردن ترکیبی اولتراسوند- اسمزی- مایکروویو از روش سطح پاسخ استفاده شد. آزمایش‌ها بر اساس طرح کامبوزیت مرکزی اجرا شدند. نتایج بررسی‌ها نشان می‌دهد که شرایط خشک کردن اثر معنی‌داری بر میزان آنتوسبیانین پلیمری، آنتوسبیانین هدر رفته و بافت گیلاس‌های سیاه خشک شده دارد ( $p < 0.05$ ). شرایط بهینه برای به حداقل رساندن مقدار آنتوسبیانین ورودی به محیط اسمزی در فرکانس ۶۰/۷ کیلوهرتز، دمای ۴۰ درجه سلسیوس و غلظت ۴۰ درصد می‌دهد و شرایط بهینه برای حداقل آنتوسبیانین پلیمری در غلظت ۶۰ درصد، دمای ۴۴ درجه سلسیوس، توان ۳۰۰ وات و بدون فرکانس به دست آمد.

### واژه‌های کلیدی

آنتوسبیانین، اسمز- اولتراسوند، بافت، گیلاس سیاه، مایکروویو

می‌شود (Vanhellemont, 2009). این میوه در حالت

تازه‌خوری از لحاظ ارگانولپتیکی طعم و مزه گس و تلخ دارد، که یکی از اهداف این پژوهش خارج کردن این محصول از حالت بی‌طعمی، ایجاد مزه‌ای شیرین و ملایم در آن و غلبه بر گسی میوه است. میوه گیلاس سیاه دارای یک پروفیل گوناگون از مواد فیتوشیمیایی شامل

مقدمه گیلاس سیاه با نام علمی *Prunus serotina* متعلق

به جنس *Prunus* و زیردسته *Padus* می‌باشد، بومی نواحی شمال شرق امریکا و کاناداست. میوه این درخت شبیه آلوی کوچک به قطر حدود یک سانتی‌متر است که رنگ آن در ابتدا سبز مایل به زرد و بعد از رسیدن، سیاه

بیشتر و از دست رفتن ویتامین ث، کاهش تولید آنتوکسین‌های پلیمر شده و کاهش عطر محصولات خشک شده با مایکروویو نسبت به سایر روش‌های دیگر کمتر بوده است (Askari *et al.*, 2006). برخی محققین معتقدند که استفاده از خشک‌کن هوا و متعاقب آن مایکروویو موجب بهبود شاخص‌های کیفی محصول می‌شود (Shamaei *et al.*, 2009). آنتوکسین‌ها، نسبت به سایر فلاونونئیدها مانند کوئرستین<sup>۱</sup>، لوتوغولین<sup>۲</sup>، آپیژنین<sup>۳</sup> و کامپفرول<sup>۴</sup>، سهم بیشتری از مصرف روزانه مردم را شامل می‌شوند. آنتوکسین‌ها به دلیل داشتن ویژگی‌های ضد سرطانی، آنتی‌اکسیدانی، فعالیت ضد رگزایی و ضد التهابی، به سالم ماندن بدن کمک می‌کنند و از این نظر با اهمیت‌اند (Kong *et al.*, 2003). واکنش‌های پلیمریزاسیون آنتوکسین‌ها به هنگام فراوری<sup>۵</sup> و انبارداری میوه‌ها و سبزی‌های حاوی آنتوکسین، به‌آسانی رخ می‌دهد. بررسی جذب ترکیباتی با ساختارهای مشابه (آنتوکسین‌ها) نشان می‌دهد که با افزایش میزان پلیمری شدن این ترکیبات، جذب آنها کاهش پیدا می‌کند. درباره اثر واکنش‌های پلیمریزاسیون روی ترکیب شیمیایی و خصوصیت آنتی‌اکسیدانی میوه acai نشان می‌دهد که پلیمریزاسیون روی خصوصیات جذبی و آنتی‌اکسیدانی میوه تأثیر می‌گذارد و به‌طور معنی‌داری آنها را کاهش می‌دهد (Pacheco-Palencia *et al.*, 2010). سانووا و همکاران (Tsanova-Savova *et al.*, 2002) اثر فرآیند پلیمریزاسیون آنتوکسین‌ها را روی ثبات رنگ قرمز آب انگور بررسی کردند و نشان دادند که درخشندگی رنگ قرمز آب انگور به‌علت فرآیند پلیمریزاسیون آنتوکسین‌ها مونومری کاهش می‌یابد که دلیل آن ترکیب آنتوکسین‌ها با استالدھید، تانن و ترکیبات فنولیک و تشکیل شکل‌های پلیمری است و با افزایش پلیمریزاسیون نسبت رنگ قرمز کمتر می‌شود. بنابراین، آنتوکسین‌پلیمری شاخصی برای تخریب آنتوکسین‌هاست.

ترکیبات فنولیک، آنتوکسین‌ها و ترپن‌های دارند (Cinquanta *et al.*, 2002; Olszewska, 2008).

یکی از روش‌های نگهداری مواد غذایی خشک کردن اسمزی است که در آن ماده آبدار مورد نظر با ساختار جامد سلولی، در یک محلول غلیظ غوطه‌ور می‌شود. انتقال جرم در خلال تیمار اسمنتیک از طریق غشاهای سلولی نیمه‌تراوای موجود در مواد بیولوژیکی اتفاق می‌افتد که این مقاومت غالب در برابر فرایند است (Mohammadpour Karizaki *et al.*, 2013). غشاهای سلولی چروکیده و سلول‌ها دچار شکست می‌شوند و در نتیجه انتقال جرم افزایش می‌یابد و از آن جایی که غشا به‌طور کامل انتخاب‌پذیر نیست، دو انتقال جرم غیر همسو به وجود می‌آید، یکی نفوذ آب از ماده غذایی به محلول اسمزی و دیگری نفوذ حل شونده از محلول اسمزی به ماده غذایی. محلول قندی در فرایند اسمز به میزان قابل توجهی بافت را محافظت می‌کند و موجب کاهش گسیختگی سلول‌ها و چروکیدگی و همچنین سبب بهبود بازجذب آب طی آبگیری مجدد می‌شود (Noshad *et al.*, 2012). در مرحله تکمیلی خشک کردن، خشک کردن با مایکروویو در مقایسه با روش‌های حرارت‌دهی رایج، به‌علت مکانیسم حرارت‌دهی حجمی، بسیار سریع‌تر انجام می‌شود علاوه بر این، حرارت در داخل بافت ماده غذایی تولید می‌شود و نیازی به انتقال آن با روش‌های انتشار و رسانایی به داخل ماده غذایی نیست. برخی محققان گزارش کرده‌اند که مزیت عمده کاربرد انرژی مایکروویو، نسبت به روش رایج، کارایی بسیار بالاتر آن در مرحله سرعت نزولی خشک کردن است. پژوهش‌ها نشان می‌دهد که استفاده از انرژی مایکروویو به صورت ترکیبی همراه با سایر روش‌های خشک کردن، موجب بهبود کیفیت فرآورده پایانی می‌شود. در بعضی موارد حذف پدیده سخت‌شدن سطح، تنش‌های داخلی، بازده

1- Quercetin  
3- Apigenin  
5-Processing

2- Luteolin  
4- Aempferol

فرکانس ۶۵ و ۱۳۰ کیلوهرتز با توان ۱۰۰ درصد و دمای ۴۰، ۵۰ و ۶۰ درجه سلسیوس انجام شد. این پیش فرآیند (فرآیند اسمز-اولتراسونیک) به مدت ۱۴ ساعت انجام شد. سپس نمونه های خشک شده در محلول اسمزی تحت اولتراسوند هسته گیری و سپس در خشک کن مایکروویو با سه توان ۱۰۰، ۲۰۰ و ۳۰۰ وات قرار داده شدند و بر اساس کاهش رطوبت (۳-۴ درصد) از مایکروویو بیرون آورده شدند.

### استخراج آنتوسيانین

آنتوسيانین به کمک اتانول همراه با اسید کلریدریک ۱/۰ مولار با نسبت ۱۵:۸۵ استخراج شد. به این صورت که ابتدا ۱۵ گرم از نمونه ها با ۲۰ میلی لیتر حلال مخلوط و به کمک مخلوط کن کاملا همگن شد. سپس مخلوط کن با ۲۰ میلی لیتر حلال شسته و این مقدار حلال به نمونه بالا ۱۵ گرم نمونه گیلاس سیاه خشک شده و ۲۰ میلی لیتر حلال (اضافه شد. نمونه ها پس از نگهداری به مدت ۱۲ ساعت در دمای ۴ درجه سلسیوس نگه داشته شده و سپس سانتریفیوژ شدند (۱۵ دقیقه، ۴۰۰۰ دور در دقیقه)، به نمونه ها باز هم ۵ میلی لیتر حلال اضافه و بار دیگر سانتریفیوژ شدند (Stojanovic & Silva, 2007).

آنتوسيانین با روش اختلاف pH در دو سطح ۱ و ۴/۵ و در دو طول موج ۵۱۰ و ۷۰۰ نانومتر توسط اسپکتروفتومتر (سیسیل، CE 2502، انگلستان) سنجیده شد. مقدار ۱ میلی لیتر از نمونه به دو بالن ۲۵ میلی لیتری ریخته شده و به ترتیب با تامپون های pH=۱ و pH=۴/۵ به حجم رسانده شدند. برای به تعادل رسیدن فرم های آنتوسيانین و تغییر شکل آنها در بافرهای مختلف، حدود ۱۵ دقیقه زمان لازم است که بعد از گذشت این مدت زمان جذب نمونه ها در کووت ۱۰ میلی متر با طول موج ۵۱۰ نانومتر خوانده شد. جذب در طول موج ۵۰۰ نانومتر (که طول موج ماکریزم است) و نیز در طول موج ۷۰۰ نانومتر (برای حذف عوامل کدورت که ممکن است در نمونه باشند و خطایجاد کنند)

با توجه به مطالب ذکر شده در مورد اهمیت آنتوسيانین ها و نیز توجه به ناپایداری و حساسیت آنها، یافتن شرایط بهینه برای پایداری آنتوسيانین میوه گیلاس سیاه طی فرآیند خشک کردن، ضروری به نظر می رسد. در این بررسی، به منظور خشک کردن گیلاس سیاه از پیش تیمار اسمز- اولتراسونیک و خشک کردن تکمیلی با مایکروویو استفاده و اثر آن بر میزان آنتوسيانین های پلیمری شده، آنتوسيانین های وارد شده به محیط اسمزی و بافت نمونه های خشک شده تجزیه و تحلیل شد.

### مواد و روش ها

آماده سازی نمونه: گیلاس سیاه (*Prunus Serotina*) از بازار محلی کرج خریداری و تا زمان آغاز فرآیند در یخچال با دمای سه درجه سلسیوس نگهداری شد. یک ساعت قبل از فرآیند، نمونه ها از یخچال بیرون آورده و در معرض دمای محیط قرار داده شدند. با شستن نمونه ها، مواد خارجی مثل گرد و خاک روی آنها به خوبی زدوده شدند. میوه ها بر اساس درجه رسیدگی، اندازه و رنگ دسته بندی شده، نمونه های نارس و آسیب دیده ها جدا شدند. گیلاس های سیاه تازه پس از شستشو با آب، با دستمال خشک، توزین و سپس در محلول سود ۰/۵ مولار به مدت دو دقیقه، به منظور افزایش نفوذ پذیری پوسته، غوطه ور شدند. نمونه ها از محلول خارج و پس از شستشو با آب، خشک گردیدند.

سپس محلول اسمزی آب و ساکاراز در سه غلظت ۴۰، ۵۰ و ۶۰ درصد تهیه شد. نمونه ها به نسبت ۱ به ۱۰ (میوه به محلول) در محلول اسمزی قرار داده شدند. این پیش فرآیند (فرآیند اسمزی) در سه دمای ۴۰، ۵۰ و ۶۰ درجه سلسیوس انجام گرفت (Shamaei et al., 2012).

هم چنین بشرهای حاوی محلول اسمزی در حمام اولتراسوند (الماء، Htw D-78224 Singen) مجهز به سنسور کنترل دما) قرار داده شدند. تیمار اولتراسوند در دو سطح

اندازه‌گیری شد که در این حالت‌ها هر کدام از جذب‌ها باید  $CD$  = دانسیته رنگ نمونه کنترل (نمونه‌ای که به آن آب اضافه شد) (میلی گرم در لیتر)؛  $A$  = میزان جذب نمونه در طول موج تنظیم شده؛ و  $DF$  = فاکتور رقت است.

اندازه‌گیری شد که در آن، قبلًا با نمونه شاهد صفر شده باشد. جذب نمونه مطابق رابطه ۱ محاسبه شد:

$$A = (A_{510} - A_{700})_{\text{pH } 1} - (A_{510} - A_{700})_{\text{pH } 4.5} \quad (1)$$

$$\begin{aligned} PC &= [(A_{420} - A_{700}) \quad (4) \\ &\quad + (A_{510} - A_{700})] \times DF \end{aligned}$$

آنتوسبیانین کل مطابق رابطه ۲ محاسبه شد:

که در آن،  $PC$  = رنگ پلیمری شده نمونه رنگبری شده با متابی سولفیت پتابیسم است.

$$\text{Percent Polymeric Color} = (PC/CD) \times 100 \quad (5)$$

$$\text{Total anthocyanins (mg/L)} = \frac{(A \times MW \times DF \times 1000)}{\epsilon} \quad (2)$$

**بافت‌سنجدی**  
بافت نمونه‌های خشک شده با استفاده از دستگاه بافت‌سنجد مدل اینسیتران (Hounsfield-H5KS) ساخت انگلستان سنجیده شد. بیشتر بودن نیتروی وارد شده به معنی سفتی بافت نمونه گیلاس است. در بافت‌سنجدی، این شرایط برقرار بود:

پروب استوانه‌ای با قطر: دو میلی‌متر، سرعت حرکت آن: ۵۰ میلی‌متر بر دقیقه، بارسنج<sup>۱</sup>: ۵۰ نیوتون و نقطه پایان آزمون: ۱۰ میلی‌متر.

**طرح آزمایش و تجزیه و تحلیل آماری**  
روش سطح پاسخ<sup>۲</sup> (RSM) مجموعه‌ای از روش‌های آماری است که در بهینه‌سازی فرآیندهایی به کار می‌رود و در آنها پاسخ مورد نظر تحت تأثیر تعدادی از متغیرها قرار می‌گیرد. شمای گرافیکی مدل ریاضی، سبب تعریف واژه "روش سطح پاسخ" شده است. با کمک این طرح آماری، تعداد آزمایش‌ها کاهش می‌یابد و کلیه ضرایب مدل رگرسیون درجه دوم و اثر متقابل فاکتورها، قابل برآورد هستند. مهم‌ترین مسئله این تحقیق بررسی آثار اصلی و

که در آن،  $A$  = جذب نمونه محاسبه شده در بالا؛  $MW$  = وزن مولکولی (بر حسب سیانوینین - ۳ - گالاکتوزید =  $502/5$ )؛  $\epsilon$  = فاکتور رقت؛ و  $DF$  = جذب مولار است.

توجه به این نکته لازم است که  $MW$  و  $\epsilon$  به آنتوسبیانین غالب در نمونه بستگی دارد. اگر ترکیبات نمونه ناشناخته باشد محاسبات رنگ بر اساس سیانوینین - ۳ - گالاکتوزید ( $MW = 502/5 = 34700$ ) خواهد بود (Stojanovic & Silva, 2007).

### اندازه‌گیری آنتوسبیانین پلیمری شده با اسپکتروفوتومتر

برای محاسبه آنتوسبیانین پلیمری در ۲ کیووت به صورت جداگانه  $2/8$  میلی‌لیتر نمونه ( محلول تهیه شده با روش قبلی از نمونه خشک گیلاس سیاه) ریخته شده، به یکی از این دو،  $0.2/0$  میلی‌لیتر متابی سولفیت پتابیم درصد (تازه درست شده) اضافه شد. جذب برای همه نمونه‌ها در طول موج‌های  $420$ ،  $510$  و  $700$  نانومتر خوانده شد. پس از آن درصد پلیمری شدن آنتوسبیانین با استفاده از رابطه‌های  $3$ ،  $4$  و  $5$  محاسبه شد (Stojanovic & Silva, 2007).

$$CD = [(A_{420} - A_{700}) + (A_{510} - A_{700})] \times DF \quad (3)$$

(X2)، دما (X3) و توان (X4) در سه سطح مورد ارزیابی قرار گرفت؛ در جدول‌های ۱ و ۲، متغیرهای مستقل فرایند و مقادیر آنها نشان داده شده است. سایر داده‌ها با استفاده از نرمافزار SAS آنالیز و گراف‌های اساساً نرمافزار Excel رسم شد. کلیه آزمایش‌ها در سه تکرار انجام شد.

متقابل فاکتورها بود، و بهمین دلیل طرح آماری سطح پاسخ انتخاب شد. در این مطالعه، بهمنظور بررسی میزان آنتوسبیانین‌های وارد شده به محیط اسمزی اثر متغیرهای مستقل شامل: غلظت ساکاراز (X1)، فرکانس (X2) و دما (X3) و بهمنظور بررسی میزان آنتوسبیانین‌های پلیمری شده اثر متغیرهای مستقل شامل فرکانس (X1)، غلظت

جدول ۱- متغیرهای فرایند اسمز- اولتراسونیک و سطوح آنها در طرح  
کامپوزیت مرکزی (آنتوسبیانین هدر رفته)

سطوح متغیر			نماد	متغیر
-1	0	+1		
۴۰	۵۰	۶۰	X <sub>1</sub>	غلظت ساکاراز (درصد)
۰	۶۵	۱۳۰	X <sub>2</sub>	فرکانس (کیلوهرتز)
۴۰	۵۰	۶۰	X <sub>3</sub>	دما (درجه سلسیوس)

جدول ۲- متغیرهای فرایند اسمز- اولتراسونیک و سطوح آنها در طرح  
کامپوزیت مرکزی (آنتوسبیانین پلیمر شده)

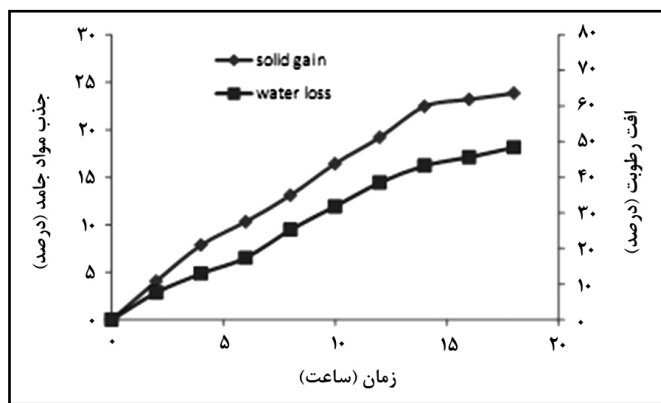
سطوح متغیر			نماد	متغیر
-1	0	+1		
۰	۶۵	۱۳۰	X <sub>1</sub>	فرکانس (کیلوهرتز)
۴۰	۵۰	۶۰	X <sub>2</sub>	غلظت ساکاراز (درصد)
۴۰	۵۰	۶۰	X <sub>3</sub>	دما (درجه سلسیوس)
۱۰۰	۲۰۰	۳۰۰	X <sub>4</sub>	توان (وات)

محركه برای جریان آب کاهش یافت. لایه‌های سطحی حاصل از مواد جامد اسمزی سبب ایجاد مقاومت در برابر انتقال جرم شد و بهمین دلیل بعد از گذشت چندی به حالت ایستایی رسید. این حالت ایستایی در منحنی‌های از دست دادن آب و جذب مواد جامد قابل مشاهده است (Kargozari *et al.*, 2010).

در شکل ۱ مشاهده می‌شود که میزان کاهش آب نمونه طی خشک کردن اسمزی با گذشت زمان کاهش می‌یابد. بدین معنی که نمونه‌های گیلاس سیاه با گذشت زمان رطوبت کمتری از دست دادند. خروج رطوبت در نمونه‌ها در زمان پس از ۱۴ ساعت، خیلی کم است که می‌توان از ادامه فرایند بیشتر صرفه‌نظر کرد و مدت زمان اسمز- اولتراسونیک را ۱۴ ساعت در نظر گرفت.

## نتایج و بحث

طی فرایند آبگیری اسمزی گیلاس سیاه، انتقال جرم با سه متغیر مستقل (غلظت محلول اسمزی، شدت فرکانس اولتراسوند و دما) هر کدام در سه سطح بررسی شد. مقدار رطوبت اولیه نمونه گیلاس سیاه  $1 \pm 80$  درصد (بر اساس وزن مرطوب) و مقدار ماده خشک آن  $1 \pm 20$  درصد (بر اساس وزن مرطوب) محاسبه شد. در فرایند اسمزی مشاهده شد تا زمانی مشخص میزان از دست دادن آب و جذب مواد جامد انحلال‌پذیر افزایش یافته اما با گذشت زمان سرعت این فعل و افعالات کاهش می‌یابد و سرانجام به حالت ایستا می‌رسد. لایه حاصل از مواد جامد تغليظ شده در زیر سطح ماده غذایی باعث تغییر در گرادیان غلظت بین محلول و ماده غذایی شد و نیروی

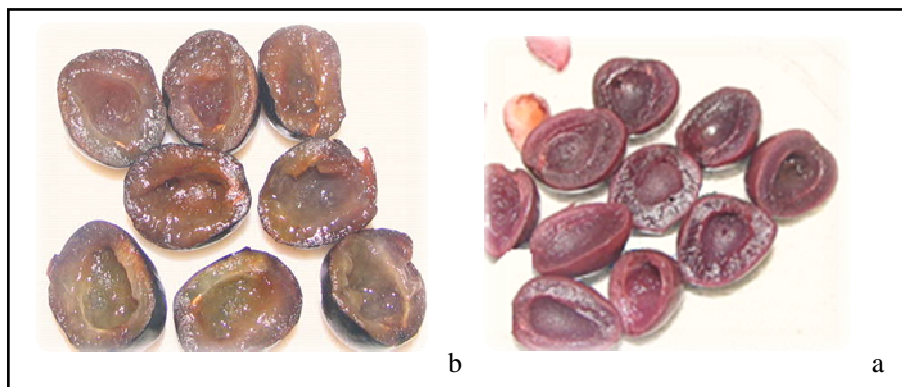


شکل ۱- افت آب و افزایش مواد جامد در فرایند اسمزی بدون اولتراسوند

اسمزی وارد و بخشی دیگر در داخل بافت پخش می‌شود (شکل ۲). این نکته، اهمیت اندازه‌گیری آنتوسیانین‌های وارد شده به محیط اسمزی را آشکار می‌کند. به این منظور از طرح آماری RSM برای بهدست آوردن شرایطی با حداقل میزان آنتوسیانین وارد شده به محیط اسمزی، آنتوسیانین‌های هدر رفته<sup>۱</sup> استفاده شد.

#### آنتوسیانین‌های وارد شده به محیط اسمزی (آنتوسیانین‌های هدر رفته)

به‌نظر می‌رسد تیره‌تر بودن رنگ پوست گیلاس سیاه با مرکز شدن آنتوسیانین‌های میوه آن در پوست میوه ارتباط دارد که هنگام قرار گرفتن در شرایط اسمز- اولتراسونیک بخشی از این ترکیبات به محیط



شکل ۲- (a) گیلاس سیاه پس از شرایط اسمز- اولتراسونیک، (b) گیلاس سیاه قبل از شرایط اسمز- اولتراسونیک

آنتوسیانین‌های وارد شده به محیط اسمزی و پارامترهای خشک کردن اسمز- اولتراسونیک، شامل فرکانس، دما و غلظت ساکاراز را نشان می‌دهد.

$$\begin{aligned} Y_{LossAC} = & 1177/71 + 78/68 X_2 - 316/81 \\ & + X_2 + 268/91 X_3 - 301/88 X_1^2 + 159/38 X_2^2 \\ & - 221/14 X_3^2 + 87/83 X_1 X_2 - 20/07 X_2 X_3 \\ & + 107/79 X_2 X_3 \end{aligned} \quad (6)$$

نتایج نشان می‌دهد که اثر خطی دما و فرکانس و اثر

با توجه به نقاط تعریف شده در طرح RSM، آزمون‌های مربوط اجرا شد. در جدول ۳ نتایج بهدست آمده از آزمون‌های تعیین میزان آنتوسیانین‌های وارد شده به محیط اسمزی ارائه شده است. در مرحله بعد داده‌های بهدست آمده از آزمون‌های مختلف با روش سطح پاسخ تجزیه و تحلیل شدند.

نتایج تجزیه و تحلیل، مقدار رگرسیون خوبی  $R^2 = 0.869$  را نشان می‌دهد. رابطه ع، روابط بین میزان

مستقل و وابسته از نمودار ۳ بعدی سطح پاسخ رسم شده با مدل استفاده شد. در هر دو نمودار اثر دو متغیر در حالتی بررسی شده که متغیر سوم در نقطه مرکزی قرار دارد.

درجه دوم غلظت ساکارز تأثیر معنی داری بر میزان آنتوسیانین های وارد شده به محیط اسمزی دارند ( $P<0.05$ ). در مورد اثرهای متقابل، هیچ یک از متغیرها معنی دار نیست. برای بررسی ارتباط بین متغیرهای

جدول ۳- نتایج آزمون در نقاط مشخص شده با طرح کامپوزیت مرکزی (آنتوسیانین وارد شده به محیط اسمزی)

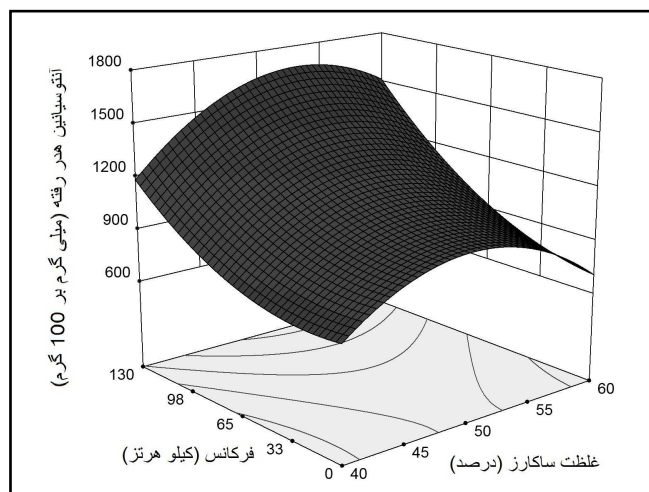
تیمار	غلظت ساکارز ( $x_1$ ) (درصد)	فرکانس ( $x_2$ ) (کیلوهرتز)	دما ( $x_3$ ) (درجه سلسیوس)	آنتوسیانین هدر رفته
۱	۴۰	۰	۴۰	۲۲۸/۳۱
۲	۵۰	۱۳۰	۵۰	۱۵۰/۱/۸۷
۳	۴۰	۱۳۰	۶۰	۱۴۰۰/۳۲
۴	۵۰	۶۵	۶۵	۱۱۹۲/۱۶
۵	۵۰	۶۵	۶۵	۱۲۵۰/۰۹
۶	۶۰	۶۵	۵۰	۱۲۰۳/۱۹
۷	۵۰	۰	۵۰	۱۰۶۳/۶۴
۸	۴۰	۰	۶۰	۶۹۴/۳۷
۹	۵۰	۶۵	۴۰	۸۰۷/۷
۱۰	۴۰	۶۵	۵۰	۷۳۹/۷۳
۱۱	۶۰	۰	۴۰	۲۶۰/۰۹
۱۲	۵۰	۶۵	۵۰	۹۱۷/۰۲
۱۳	۶۰	۱۳۰	۵۰	۱۷۰۳/۱۲
۱۴	۶۰	۱۳۰	۴۰	۸۸۶/۱۷
۱۵	۵۰	۶۵	۵۰	۱۱۳۹/۰۷
۱۶	۵۰	۶۵	۵۰	۹۹۴/۲۵
۱۷	۴۰	۱۳۰	۴۰	۶۸۶/۰۲
۱۸	۵۰	۶۵	۵۰	۱۱۹۱/۱۶
۱۹	۶۰	۰	۶۰	۴۶۲/۹۴
۲۰	۵۰	۶۵	۶۰	۱۲۹۶/۶۹

شكل مواد جامد متخلف مانند میوه ها و ایجاد کanal های میکرو و کاهش ضخامت لایه مرزی می شود، همه این موارد به افزایش انتقال جرم در میوه می انجامد (Fernandes *et al.*, 2008). مطابق شکل ۳، با افزایش غلظت، میزان آنتوسیانین وارد شده به محیط اسمزی افزایش پیدا می کند و کمترین میزان آنتوسیانین وارد شده به محیط اسمزی در غلظت ۴۰ درصد و بیشترین آن در غلظت های ۵۰-۵۵ درصد مشاهده شده است. در غلظت های بالاتر، تفاوت چندانی در میزان ورود

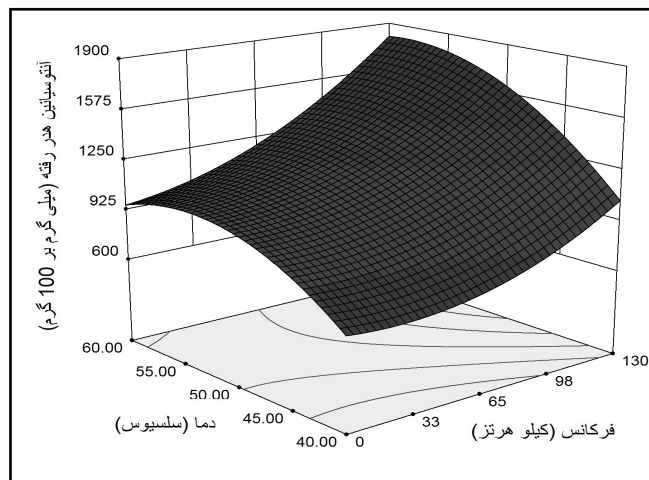
میزان آنتوسیانین کل در میوه گیلاس سیاه تازه ۳۷۶۵ میلی گرم در صد گرم محاسبه شد. همان طور که در شکل ۳ نشان داده شده، میزان آنتوسیانین وارد شده به محیط اسمزی با افزایش فرکانس افزایش می یابد که این موضوع می تواند به دلیل کاویتاسیون تولید شده بر اثر امواج صوتی باشد. کاویتاسیون عبارت است از تشکیل و فروپاشی حباب در مایع که می تواند به حذف آب متصل کمک کند. سرعت کاویتاسیون و انقباض و انبساطهای متوالی بستگی به فرکانس اولتراسوند دارد و سبب تغییر

داده‌اند که وقتی غلظت ساکارز تا ۲۰ درصد بالا رود، پایداری آنتوسيانین‌های توت فرنگی نیز افزایش می‌یابد. همان‌طور که در شکل ۴ نشان داده شده است، با افزایش دما از ۴۰ تا ۶۰ درجه سلسیوس و افزایش فرکانس، میزان بیشتری از آنتوسيانین‌ها وارد محیط اسمزی می‌شود. افزایش دما با شکستن اجزای سلولی سلول‌های گیاهی منجر به افزایش نفوذپذیری غشای سلولی می‌شود که در نتیجه باعث تسهیل در خروج آنتوسيانین‌ها خواهد شد (Wang *et al.*, 2008) (Lee *et al.*, 2002) و (Rossi *et al.*, 2003) با نتایج تحقیقات لی و همکاران (Rosso & Mercadante, 2007) و رسی و همکاران (Nikkhah *et al.*, 2012) مطابقت دارد.

آنتوسيانین به محیط اسمزی دیده نمی‌شود، هر چند با افزایش قندها، پایداری آنتوسيانین‌ها در میوه کاهش پیدا می‌کند، مثال مشخص از تولیدات و محصولات تخریبی حاصل توسط قندها، فورفوروال است (Nikkhah *et al.*, 2012). نتایج تحقیقات پیشین نشان می‌دهد که اضافه کردن قندها و نمک‌ها اثر منفی روی پایداری آنتوسيانین دارد (Rosso & Mercadante, 2007). واکنش‌های آنتوسيانین‌ها با تولیدات تخریبی قندها، باعث شکل‌گیری رنگیزه‌های پلیمری قهوه‌ای می‌شود (Krifi *et al.*, 2000). اثر قند اضافه شده روی پایداری آنتوسيانین بستگی به ساختار آن، غلظت و نوع قند دارد. نیکخواه و همکاران (Nikkhah *et al.*, 2012) گزارش



شکل ۳ - نمودار سه بعدی میزان آنتوسيانین‌های هدر رفته (میلی گرم بر ۱۰۰ گرم) در برابر غلظت ساکارز (درصد) و فرکانس (کیلو هرتز)



شکل ۴ - نمودار سه بعدی میزان آنتوسيانین‌های هدر رفته (میلی گرم بر ۱۰۰ گرم) در برابر دما (درجه سلسیوس) و فرکانس (کیلو هرتز)

اثر پیش تیمار اسمز- اولتراسونیک و خشک کردن...

آنتوسیانین‌های پلیمری شده ارائه شده است. در مرحله بعدی داده‌های به دست آمده از آزمون‌های مختلف با روش سطح پاسخ آنالیز و ضرایب رگرسیونی نیز تخمین زده شدند.

#### آنتوسیانین‌های پلیمری

با توجه به نقاط تعريف شده در طرح RSM، آنتوستیانین پلیمری شده اندازه‌گیری شد. در جدول ۴، نتایج به دست آمده از آزمون‌های تعیین میزان

جدول ۴- نتایج آزمون آنتوستیانین پلیمری شده در نقاط مشخص شده با طرح کامپوزیت مرکزی

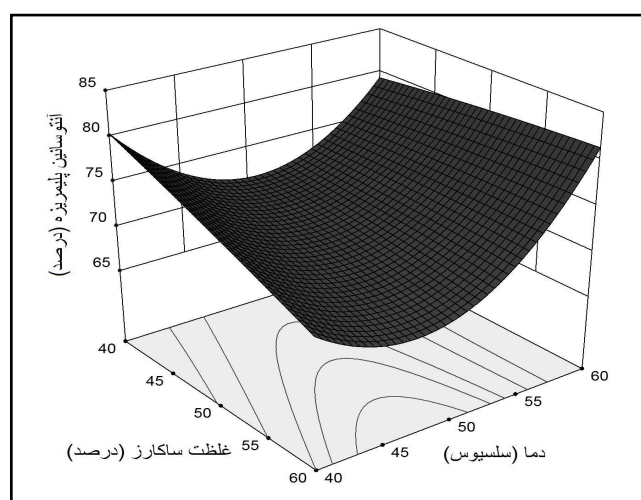
تیمار	فرکانس (کیلوهرتز)	غلظت (x1)	درصد (x2)	دما (درجه سلسیوس)	توان (x4)	آنتوستیانین پلیمری شده (درصد)
۱	۶۵	۵۰	۵۰	۵۰	۲۰۰	۷۰/۷
۲	۱۳۰	۴۰	۶۰	۶۰	۳۰۰	۵۶/۶
۳	۱۳۰	۶۰	۶۰	۶۰	۱۰۰	۷۷
۴	۰	۴۰	۴۰	۶۰	۳۰۰	۵۶/۹
۵	۶۵	۵۰	۵۰	۵۰	۱۰۰	۷۶/۸
۶	۶۵	۵۰	۵۰	۵۰	۲۰۰	۶۹/۸
۷	۱۳۰	۴۰	۴۰	۴۰	۳۰۰	۶۰/۵
۸	۰	۵۰	۵۰	۵۰	۲۰۰	۵۷
۹	۰	۶۰	۶۰	۴۰	۳۰۰	۳۱/۸
۱۰	۰	۴۰	۴۰	۴۰	۱۰۰	۷۳/۴
۱۱	۶۵	۵۰	۵۰	۵۰	۲۰۰	۷۲
۱۲	۶۵	۵۰	۵۰	۵۰	۳۰۰	۵۰/۹
۱۳	۱۳۰	۶۰	۶۰	۴۰	۱۰۰	۷۵/۴
۱۴	۶۵	۴۰	۴۰	۵۰	۲۰۰	۷۱/۲
۱۵	۱۳۰	۶۰	۶۰	۴۰	۳۰۰	۴۸/۴
۱۶	۶۵	۵۰	۵۰	۵۰	۲۰۰	۷۱/۷
۱۷	۰	۶۰	۶۰	۴۰	۱۰۰	۶۹/۵
۱۸	۰	۴۰	۴۰	۶۰	۱۰۰	۷۶/۸
۱۹	۶۵	۵۰	۵۰	۵۰	۲۰۰	۷۸/۴
۲۰	۰	۶۰	۶۰	۶۰	۳۰۰	۵۰/۹
۲۱	۰	۴۰	۴۰	۴۰	۳۰۰	۵۰/۵
۲۲	۱۳۰	۴۰	۴۰	۴۰	۱۰۰	۷۸/۵
۲۳	۶۵	۵۰	۵۰	۵۰	۲۰۰	۶۷/۴
۲۴	۶۵	۵۰	۵۰	۵۰	۲۰۰	۶۷/۹
۲۵	۶۵	۵۰	۵۰	۵۰	۲۰۰	۷۲/۷
۲۶	۰	۶۰	۶۰	۶۰	۱۰۰	۷۷/۷
۲۷	۱۳۰	۴۰	۴۰	۶۰	۱۰۰	۷۰/۱
۲۸	۱۳۰	۶۰	۶۰	۶۰	۳۰۰	۶۲/۷
۲۹	۶۵	۶۰	۶۰	۵۰	۲۰۰	۶۷/۳
۳۰	۶۵	۵۰	۵۰	۴۰	۲۰۰	۷۷/۱
۳۱	۱۳۰	۵۰	۵۰	۵۰	۲۰۰	۶۴/۱

درصد میزان آنتوسبیانین‌های پلیمری شده تفاوت معنی‌داری ندارد. همچنین با افزایش دما از ۴۰ به ۵۰ درجه سلسیوس تفاوت معنی‌داری در میزان آنتوسبیانین‌های پلیمری دیده نمی‌شود و حتی مقادیر ناچیزی کاهش پیدا می‌کند ولی با افزایش دما از ۵۰ به ۶۰ درجه سلسیوس میزان پلیمری شدن آنتوسبیانین‌ها افزایش می‌یابد که این نتیجه با یافته‌های خانال و همکاران (Khanal *et al.*, 2010) هم‌خوانی دارد. استفاده از اولتراسوند در کلیه دمایا، پلیمری شدن را در مقایسه با فرایند بدون اولتراسوند، افزایش می‌دهد. فرایند اولتراسوند منجر به افزایش پلیمری شدن آنتوسبیانین‌ها می‌شود و این پدیده با افزایش فرکانس افزایش می‌یابد ولی در فرکانس‌های بالاتر به علت کوچک شدن طول موج و کاهش نفوذ آن به داخل بافت و کم شدن شدت تأثیر ابساط و انقباض، مقدار آنتوسبیانین پلیمری کاهش پیدا می‌کند (شکل ۵ و ۶). نتایج بررسی‌ها نشان می‌دهد که با استفاده مایکروویو و افزایش توان آن، پلیمری شدن آنتوسبیانین کاهش می‌یابد. همچنین استفاده از اولتراسوند در کلیه توان‌ها (نسبت به تیمار بدون اولتراسوند) و افزایش فرکانس آن، به افزایش پلیمری شدن می‌انجامد (شکل ۷). نتایج این آزمون با نتایج تحقیقات شامعی و همکاران (Shamaei *et al.*, 2009) مطابقت دارد.

آنالیز سطح پاسخ داده‌ها نشان می‌دهد که روابط بین آنتوسبیانین‌های پلیمری شده و پارامترهای خشک‌کردن اسمز-اولتراسونیک با خشک کردن تکمیلی مایکروویو از نوع درجه دوم با ضریب رگرسیون مناسب ( $R^2 = 0.98$ ) است. رابطه ۷، رابطه بین آنتوسبیانین پلیمری شده و پارامترهای خشک کردن را نشان می‌دهد.

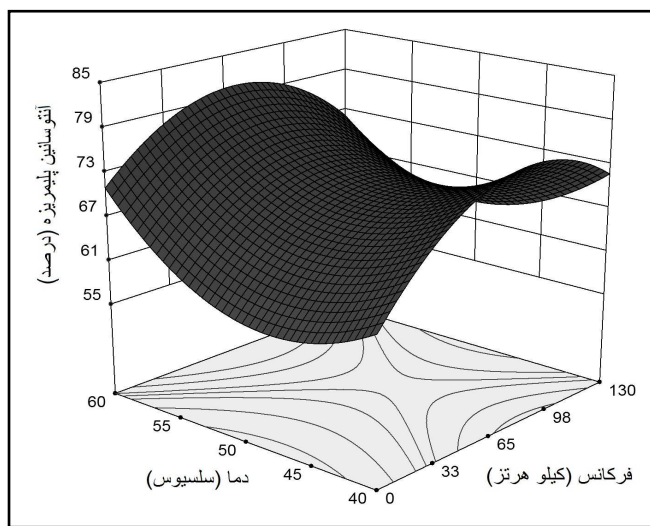
$$\begin{aligned} Y_{ACP} = & 331/53 + 0/288X_1 - 1/173X_2 - 9/666X_3 \\ & - 0/09X_4 - 0/002X_1^2 - 0/002X_2^2 + 0/0083X_3^2 \\ & - 0/001X_4^2 + 0/002X_1X_2 - 0/003X_1X_3 \\ & + 0/029X_2X_3 - 0/002X_2X_4 + 0/002X_3X_4 \end{aligned} \quad (7)$$

شکل‌های ۵، ۶ و ۷ نمودار فضایی اثر فرکانس، غلظت، دما و توان مایکروویو را بر میزان آنتوسبیانین‌های پلیمری شده نشان می‌دهد. آنتوسبیانین پلیمری شاخصی برای تخریب آنتوسبیانین‌هاست. فرکانس و دما تأثیرات معنی‌داری درجه اول و توان، فرکانس و دما اثرات معنی‌داری درجه دوم را بر میزان آنتوسبیانین‌های پلیمری نشان می‌دهند ( $p < 0.05$ ). همچنین، برهم‌کنش‌ها بین فرکانس و دما، فرکانس و توان، غلظت و دما، غلظت و توان، دما و توان تأثیراتی معنی‌دار بر میزان آنتوسبیانین‌های پلیمری شده نشان می‌دهند ( $p < 0.05$ ). نتایج نشان می‌دهد که با افزایش غلظت قند از ۴۰ به ۶۰

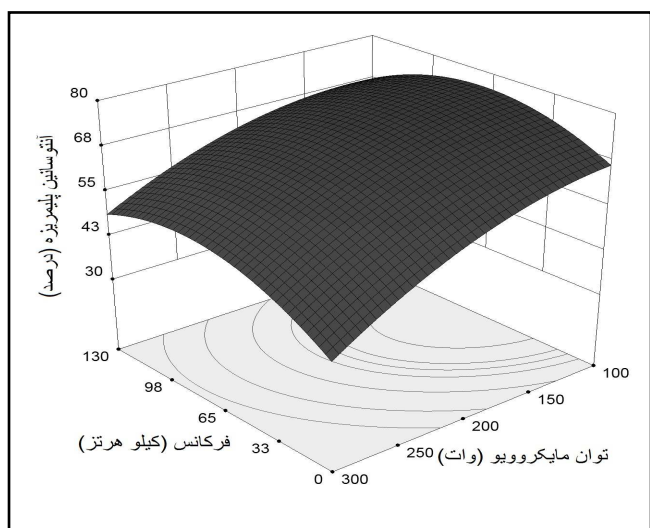


شکل ۵- نمودار سه‌بعدی میزان آنتوسبیانین پلیمری شده (درصد) در برابر دما (درجه سلسیوس) و غلظت ساکارز (درصد)

اثر پیش تیمار اسمز- اولتراسونیک و خشک کردن...



شکل ۶- نمودار سه بعدی میزان آنتوسیانین های پلیمری شده (درصد) در برابر دما (درجه سلسیوس) و فرکانس (کیلو هرتز)



شکل ۷ - نمودار فضایی میزان آنتوسیانین های پلیمری شده (درصد) در برابر فرکانس (کیلو هرتز) و توان (وات) بهینه سازی

غلظت ۴۰ درصد به دست آمد. میزان مطلوبیت به دست آمده برای کمترین میزان آنتوسیانین پلیمری شده ۱۰۰ درصد است. این مقادیر بهینه در غلظت ۶۰ درصد، دمای ۴۴/۴۴ درجه سلسیوس، توان ۳۰۰ وات و بدون فرکانس به دست آمد.

#### بافت گیلاس سیاه خشک شده

آزمایش فشار یکی از متداول ترین روش های ارزیابی و تجزیه تحلیل بافت است. ساده ترین کار در این مورد اندازه گیری حداکثر فشار مورد نیاز برای تخریب بافت ماده

متغیرهای وابسته بهینه سازی شدند و برای دستیابی به کمینه آنتوسیانین های پلیمری شده طی خشک کردن اسمز- اولتراسونیک همراه با خشک کردن تکمیلی با مایکروویو و آنتوسیانین های وارد شده به محیط اسمزی طی فرایند خشک کردن اسمز- اولتراسونیک میوه گیلاس سیاه، نقاط اپتیمم به دست آمدند. میزان مطلوبیت به دست آمده برای کمترین میزان آنتوسیانین ورودی به محیط اسمزی ۹۷ درصد است. این مقادیر بهینه در فرکانس ۴۰/۷ کیلو هرتز، دمای ۴۰ درجه سلسیوس و

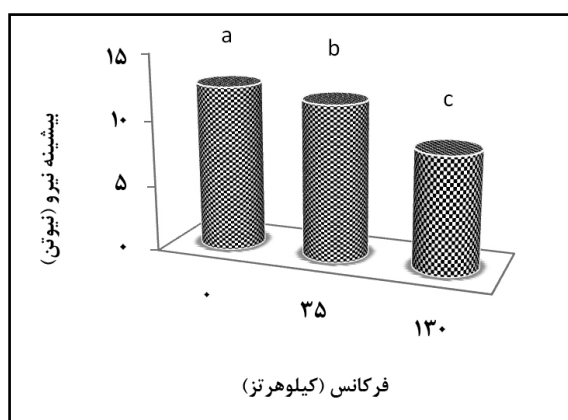
به دلیل فشار بخار زیادی که در آن ایجاد خواهد شد باد می‌کند و پس از چند ثانیه به حالت اول بر می‌گردد، در بازگشت به حالت اول، به دلیل تخریب زیاد، دیواره سلولی نمی‌تواند خود را حفظ کند و مجدداً منافذ مسدود و بافت سفت‌تر خواهد شد (Shamaei *et al.*, 2009).

بررسی شکل ۹ نشان می‌دهد که افزایش دما منجر به ایجاد بافت نرم‌تر در میوه می‌شود که می‌تواند به دلیل اثر دما بر گرادیان فشار اسمزی و در نتیجه ایجاد بافت متخلخل در میوه، افزایش افت کلسیم و جذب مواد جامد نیز باشد. اسمز و اولتراسوند نیز با افزایش دما همان روند بدون اولتراسوند را دنبال می‌کنند. همانند قبل، استفاده از فرایند اولتراسوند به دلیل افزایش تخریب دیواره سلولی و ایجاد میکرو کانال و بافت اسفنجی در نمونه، افزایش افت کلسیم و جذب مواد جامد باعث کاهش بیشینه نیرو می‌شود (Shamaei *et al.*, 2009).

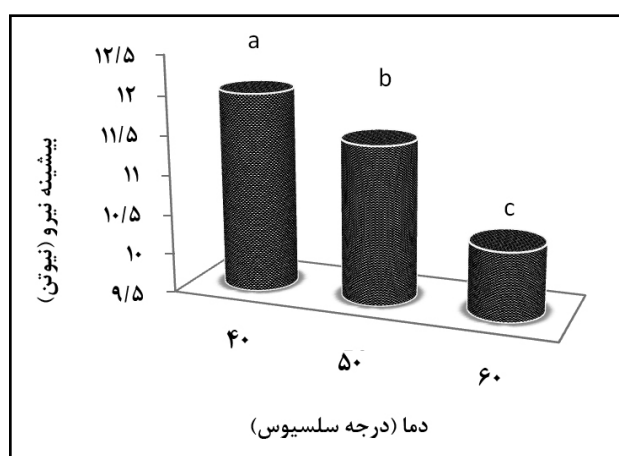
نتایج بررسی‌ها نشان می‌دهد که با افزایش غلظت قند، بیشینه نیرو کاهش می‌یابد زیرا مطابق نتایج پژوهشگران پیشین تخلخل نمونه‌های اسمز شده، به ویژه نمونه‌های فرایند شده در محلول ساکارز، با افزایش غلظت ساکارز افزایش می‌یابد. در غلظت‌های بالا کاهش رطوبت<sup>۱</sup> در مقایسه با جذب مواد جامد<sup>۲</sup> بیشتر است. با توجه به این واقعیت، قندها قادر به پوشاندن فضاهای خالی نیستند (Shamaei *et al.*, 2012). علاوه بر این، مقادیر بالای تخلخل طی خشک کردن را می‌توان به بالاتر بودن ویسکوزیتی ماتریس بافتی طی فرایند خشک کردن با هوای گرم نسبت داد که مانع از ریزش و افتادگی لایه‌های بافت می‌شود. همین‌طور، با افزایش غلظت قند و در نتیجه گرادیان فشار اسمزی، افت کلسیم از نمونه به محیط بیشتر می‌شود و این خود نرم‌شدن بافت را در پی دارد (شکل ۱۰).

غذایی است. اصطلاحات کیفی پیچیده نظریه سختی و قابلیت جویدن، با روش‌هایی پیچیده مانند تجزیه تحلیل پروفیل تخریب بافت کمی می‌شود. آزمایش فشار بهوسیله اعمال تغییر شکل با سرعتی ثابت و اندازه‌گیری نیروی مورد نیاز برای تغییر شکل و میزان تغییر شکل حاصل، انجام می‌گیرد و سپس منحنی‌های تنش-تغییر شکل رسم شود. آزمایش فشار تا هنگام تخریب نمونه ادامه می‌یابد. رفتارهای بافتی تا حدود زیادی به ساختمان ماده غذایی بستگی دارد. ویژگی‌های بافتی به خصوصیات شیمیایی و بیوفیزیکی محصول نیز وابسته است. خصوصیات رئولوژیکی مواد غذایی خشک شده حین آزمایش فشار و تحلیل کرنش بررسی شده است. هر دو آزمایش طبیعت ویسکوالاستیک مواد غذایی خشک شده نظری پارامترهای الاستیسیته از جمله مدول الاستیسیته را ارزیابی می‌کنند (Mujumdar, 2000). با دستگاه بافت‌سنج اینسترون، نیروی بیشینه در نمونه‌های خشک شده با اسمز- اولتراسونیک و خشک کردن تکمیلی با مایکروویو، اندازه‌گیری شد که نتایج آن در شکل‌های ۹، ۸ و ۱۰ گزارش شده است. استفاده از فرایند اولتراسوند باعث کاهش بیشینه نیرو می‌شود که دلیل آن تخریب شدید سلولی و ایجاد میکرو کانال و بافت اسفنجی در نمونه، افزایش افت کلسیم و افزایش جذب مواد جامد است. شکل ۸ نشان می‌دهد که با افزایش فرکانس از ۶۵ کیلوهرتز به ۱۳۰ کیلوهرتز، بیشینه نیروی کمتری به دست می‌آید؛ زیرا در این فرکانس تخریب بیشتری اتفاق می‌افتد و حفره‌های بیشتری در بافت ایجاد می‌شود (Shamaei *et al.*, 2009). با افزایش توان، بیشینه نیرو افزایش می‌یابد و این اثر در ۱۳۰ بسیار نمایان است که دلیل آن افزایش تخریب دیواره سلولی با افزایش فرکانس است و زمانی که از مایکروویو با توان ۳۰۰ وات استفاده می‌شود، نمونه

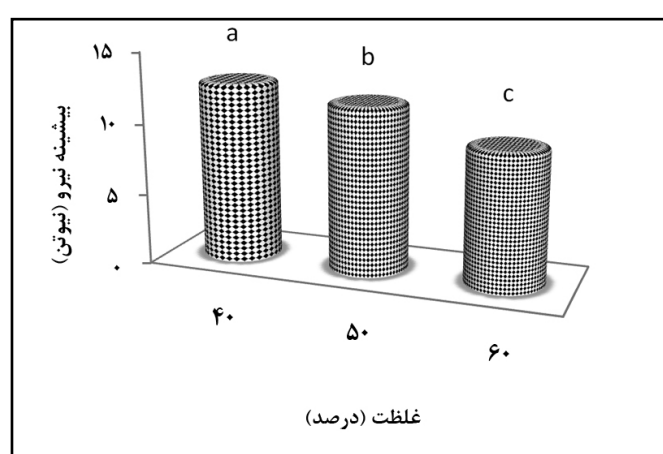
اثر پیش تیمار اسمز- اولتراسونیک و خشک کردن...



شکل ۸- میزان بیشینه نیرو در فرکانس‌های (کیلوهرتز) و توان‌های مایکروویو متفاوت (وات) میانیگن‌های دارای حروف مشترک در سطح احتمال ۵ درصد اختلاف معنی‌داری ندارند.



شکل ۹- میزان بیشینه نیرو در دماهای متفاوت (درجه سلسیوس) میانیگن‌های دارای حروف مشترک در سطح احتمال ۵ درصد اختلاف معنی‌داری ندارند.



شکل ۱۰- میزان بیشینه نیرو در غلظت‌های متفاوت ساکاراز میانیگن‌های دارای حروف مشترک در سطح احتمال ۵ درصد اختلاف معنی‌داری ندارند.

**نتیجه‌گیری**

فرکانس با مطلوبیت ۱۰۰ درصد به دست می‌آید. خشک کردن در شرایط بهینه ارائه شده توسط مدل در سه تکرار اجرا شد و نتیجه با مقدار پیش‌بینی شده توسط آن مقایسه گردید. میزان آنتوسبیانین پلیمری و آنتوسبیانین ورودی به محیط اسمزی پیش‌بینی شده مدل به ترتیب  $30/87$  درصد و  $265/99$  میلی‌گرم در صد گرم و نتایج حاصل از آزمایش‌های اجرا شده در این شرایط به ترتیب  $30/92 \pm 0/2$  درصد و  $264 \pm 2$  گرم است. بر اساس نتایج به دست آمده، مدل توانسته است تا حدود زیادی اثر متغیرهای توان مایکروویو، دما، غلظت ساکارز و فرکانس اولتراسوند را بر خصوصیات ذکر شده گیلاس سیاه خشک شده پیش‌بینی کند. همچنین، نتایج نشان می‌دهد که اثر غلظت ساکارز، دما و فرکانس روی خصوصیات کیفی بافت معنی‌دار است و در خشک کردن تکمیلی با مایکروویو در توان‌های بالاتر سفتی بیشتر بافت را سبب می‌شود.

در این پژوهش، از خشک کردن اسمزی همراه با اولتراسوند و خشک کردن تکمیلی با مایکروویو برای گیلاس سیاه استفاده و دو موضوع بررسی شد: یکی اثر فرآیند اسمز- اولتراسونیک روی از دست دادن آنتوسبیانین و ورود آن به محیط اسمزی و دیگری اثر اسمز- اولتراسونیک به همراه خشک کردن تکمیلی با مایکروویو روی میزان آنتوسبیانین‌های پلیمری شده گیلاس سیاه خشک شده و بافت میوه خشک شده با استفاده از RSM دستگاه بافت‌سنجد اینسترون. نتایج بهینه‌سازی با نشان می‌دهد که کمترین میزان آنتوسبیانین ورودی به محیط اسمزی در فرکانس  $40/7$  کیلوهرتز، دمای  $40$  درجه سلسیوس و غلظت  $40$  درصد با مطلوبیت  $97$  درصد و کمترین میزان آنتوسبیانین پلیمری در غلظت  $60$  درصد، دمای  $44/44$  درجه سلسیوس، توان  $300$  وات و بدون

**مراجع**

- Askari, G. A., Emam-Djomeh. Z. and Mousavi, S. M. 2006. Effect of combined coating and microwave assisted hot-air drying on the texture, microstructure and rehydration characteristics of apple slices. *J. Food Sci. Technol.* 12(1): 39-46.
- Cinquanta, L., Matteob, M. D. and Estia, M. 2002. Physical pre-treatment of plums (*Prunus domestica*). Part 2. Effect on the quality characteristics of different prune cultivars. *Food Chem.* 79, 233-238.
- Fernandes, F. A. N., Galla~o, M. I. and Rodrigues, S. 2008. Effect of osmotic dehydration and ultrasound pre-treatment on cell structure: melon dehydration. *LWT. Food Sci. Technol.* 41(4): 604-610.
- Kargozari, M., Moini, S. and Emam-Djomeh, Z. 2010. Prediction of some physical properties of osmodehydrated carrot cubes using response surface methodology. *J. Food Process. Pres.* 34(6): 1041-1063.
- Kong, J., Chia, L., Goh, N., Chia, T. and Brouillard, R. 2003. Analysis and biological activities of anthocyanins. *Phytochemistry*. 64, 923-933.
- Krifi, B., Chouteau, F., Boudrant, J. and Metche, M. 2000. Degradation of anthocyanins from blood orange juices. *Int. J. Food Sci. Technol.* 35(3): 275-283.
- Lee, J., Durst, R. W. and Wrolstad, R. E. 2002. Impact of juice processing on blueberry anthocyanin and polyphenolics: comparison of two pretreatments. *J. Food Sci.* 67, 1660-1667.

- Marquis, D. A. 1990. Black Cherry *Prunus Serotina* Ehrh. In: Burns, R. M. and Honkala, B. H. (Eds.) *Silvics of Forest Trees in the United States*. Agriculture Handbook 654. Vol. 2: Hardwoods. United States Department of Agriculture. Forest Service. Washington, D. C.
- Mohammadpour Karizaki, V., Sahin, S., Sumnu, G., Mosavian, M. T. H. and Luca, A. 2013. Effect of ultrasound-assisted osmotic dehydration as a pretreatment on deep fat frying of potatoes. *Food Bioprocess. Technol.* 6, 3554-3563.
- Mujumdar, A. S. 2000. *Drying Technology in Agricultural and Food Science*. Publishers Inc. Plymoth. UK.
- Nikkhah, E., Khayyami, M. and Heidari, R. 2012. Effect of some chemicals on stability of anthocyanins from blackberry (*Morus nigra*). *Iranian J. biology* 25, 32-43. (in Farsi)
- Noshad, M., Mohebbi, M., Shahidi, F. and Mortazavi, S. A. 2012. Effect of osmosis and ultrasound pretreatment on the moisture adsorption isotherms of quince. *Food Bioprod. Process.* 90, 266-274.
- Olszewska, M. 2008. Optimization and validation of an HPLC-UV method for analysis of corosolic, oleanolic, and ursolic acids in plant material: Application to *Prunus serotina* Ehrh. *Acta Chromatogr.* 20(4): 643-659.
- Pacheco-Palencia, L. A., Susanne, U., Mertens-Talcott, S. U. and Talcott, S. T. 2010. In vitro absorption and antiproliferative activities of monomeric and polymeric anthocyanin fractions from açai fruit (*Euterpe oleracea Mart.*). *Food Chem.* 119, 1071-1078.
- Rossi, M., Giussani, E., Morelli, R., Scalzo, R. L., Nani, R. C. and Torreggiani, D. 2003. Effect of fruit blanching on phenolics and radical scavenging activity of highbush blueberry juice. *Food Res. Int.* 36, 999-1005.
- Rosso, V. V. and Mercadante, A. Z. 2007. Evaluation of colour and stability of anthocyanins from tropical fruits in an isotonic soft drink system. *Innov. Food Sci. Emerg. Technol.* 8, 347-352.
- Shamaei, S., Emam-Djomeh, Z. and Moeini, S. 2009. Prediction of quality properties of dried cranberry with combination methods of ultrasound-osmotic-microwave using neural networks. M. Sc. Thesis. Faculty of Agriculture. Tehran University. Karaj. Iran. (in Farsi)
- Shamaei, S., Emam-Djomeh, Z. and Moini, S. 2012. Ultrasound-assisted osmotic dehydration of cranberries: effect of finish drying methods and ultrasonic frequency on textural properties. *J. Texture Stud.* 43, 133-141.
- Stojanovic, J. and Silva, J. 2007. Influence of osmotic concentration, continuous high frequency ultrasound and dehydration on antioxidants, colour and chemical properties of rabbiteye blueberries. *Food Chem.* 101, 898-906.
- Tsanova-Savova, S., Dimovw, S. and Ribarova, F. 2002. Anthocyanins and color variables of Bulgarian aged red wines. *J. Food Comp. Anal.* 15(6): 647-654.
- Vanhellemont, M. 2009. Present and future population dynamics of *Prunus serotina* in forests in its introduced range. Ph. D. Thesis. Ghent University. Ghent. Belgium.
- Wang, J., Sun, B., Cao, Y., Tian, Y. and Li, X. 2008. Optimisation of ultrasound-assisted extraction of phenolic compounds from wheat bran. *Food Chem.* 106, 804-810.

## Effect of Ultrasound-Assisted Osmotic Dehydration and Microwave Drying on Quality of Dried Black Cherries

Z. Karami\*, Gh. Yousofi and Z. Emam-Djomeh

\* Corresponding Author: M. Sc. of Food Science and Technology, Gorgan University of Agricultural Sciences and Natural Resources, Gorgan, Iran. P. O. Box: 386. E-mail: z\_karami\_gua@yahoo.com

Received: 8 September 2012, Accepted: 4 May 2013

The effect of microwave-assisted finish drying following osmotic dehydration with the application of ultrasound was investigated. Qualitative characteristics of dried black cherries (polymeric anthocyanin, loss of anthocyanin into osmotic solution, texture) were determined. Osmotic dehydration was done in osmotic solution (sucrose-water) with concentrations of 40%, 50%, and 60% sucrose. Osmotic dehydration was determined at 40, 50 and 60 °C. The influence of ultrasonic frequency at 65 and 130 KHz was also studied. To increase the permeability of skin of the black cherries, they were dipped in NaOH (0.5 mol) for 2 min. Microwave drying was done at 100 W, 200 W and 300 W to complete the drying process. Response surface methodology was used to optimize the osmotic-ultrasound-microwave drying conditions of the black cherry to achieve minimum loss of anthocyanin into the osmotic solution and polymeric anthocyanin. Experiments used a central composite rotatable design. The results showed that drying condition had a significant effect on anthocyanin loss, polymeric anthocyanin, and texture after dehydration. The optimal conditions for minimum anthocyanin loss were a temperature of 40°C, 40% concentration and ultrasonic frequency of 40.7 kHz. The optimal conditions for minimum polymeric anthocyanin were a temperature of 44.44°C, 60% concentration, 300 W of power and no ultrasonic frequency.

**Keywords:** Anthocyanin, Black cherries, Microwave, Texture, Ultrasound-osmotic